

II-336 Sub-sand filter system の海岸侵食制御への適用性

京都大学防災研究所 正 河 田 恵 昭
 京都大学防災研究所 正 工 田 義 人
 (株) 三菱重工業 正 千 田 耕 一

1. 緒言 近年、自然海浜のもつすぐれた消波機能を再評価し、海浜の透水性と人工的に変化させた海岸侵食制御を行った sub-sand filter system の開発が試みられてきた。ここでは、孤立波および周期波による海浜変形に関する実験結果を用いて、その適用性について考察する。

2. Sub-sand filter system に関する実験

sub-sand filter system による海岸侵食制御の機構はつきのようである。すなわち、海浜が至る所で up-rush と down-wash の海水の流量が等しいときには、海浜に沿って上下する砂の定常運動が生ずるが、至る所で海水の一部を強制的に砂中に浸没させると、漂砂量の連続性すなわち、up-rush と down-wash の砂の前進後退の平衡関係が変化し、海浜に砂が堆積する現象が生ずるといふものである。これは、孤立波の至る所で著者らの実験でも、その流速変化としてすでに確認されてい。 (ii) 孤立波による実験：約 5 分間隔に発生した孤立波による汀線と直角方向の海浜断面形状の 1 例を図-1 に示す。これが filter system の影響範囲より冲側では排水条件および来襲波数により海浜断面の差はほとんど見られないが、この影響範囲では berm ほど明々かに排水側の方が発達してあり、600 波来襲後では顕著に異なっていることがわかる。この傾向はすべてこの実験ケースについて認められた。つまに、図-2 は単位面積当たりの排水量をパラメーターとして、berm の単位面積当たりの堆積量 A と、初期汀線と最大至る点までの直線距離との直角三角形の面積 A_0 との比と波高・水深比 H/h の関係を示したものである。これから、berm の堆積量に及ぼす H/h の影響は、排水の場合が非排水の場合に比べて 2~4 倍程度大きいが、その増加率は両者ほどほとんど同じであることが見出される。また、堆積量に及ぼす強制排水の影響は、孤立波の来襲波数によって変り、200 波では berm があまり発達せざる H/h に対しても、最大の堆積量を示す強制排水量は最大排水量よりも少くなっている。これより強制排水量の存在が推測される。一方、berm が完全に発達した 400 波来襲後の場合、堆積量の差はあまり認められないので、これは今回の強制排水量の範囲では、berm がある程度以上発達すれば、透水層が大きくなるために、強制排水の効果が現れないことにあらうと考えられる。図-3 は単位時間、単位面積当たりの排水量 U_s と Rubey 式から求

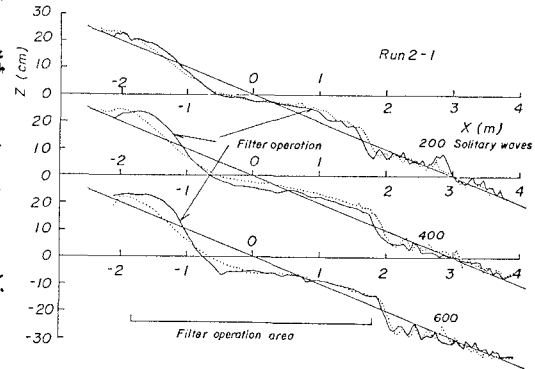


図-1 孤立波による海浜変形

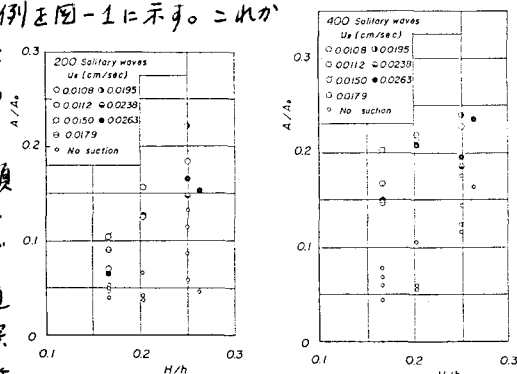


図-2 海浜断面の変形量と波高・水深比の関係

べ A/A_0 と H/h の関係は、排水の場合が非排水の場合に比べて 2~4 倍程度大きいが、その増加率は両者ほどほとんど同じであることが見出される。また、堆積量に及ぼす強制排水の影響は、孤立波の来襲波数によって変り、200 波では berm があまり発達せざる H/h に対しても、最大の堆積量を示す強制排水量は最大排水量よりも少くなっている。このことから最適排水量の存在が推測される。一方、berm が完全に発達した 400 波来襲後の場合、堆積量の差はあまり認められないので、これは今回の強制排水量の範囲では、berm がある程度以上発達すれば、透水層が大きくなるために、強制排水の効果が現れないことにあらうと考えられる。図-3 は単位時間、単位面積当たりの排水量 U_s と Rubey 式から求

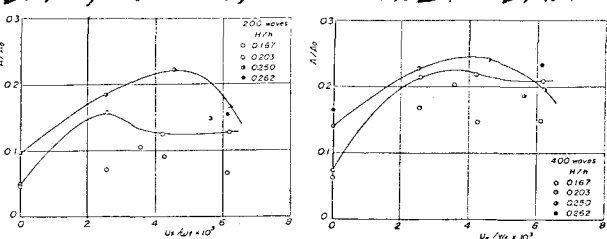
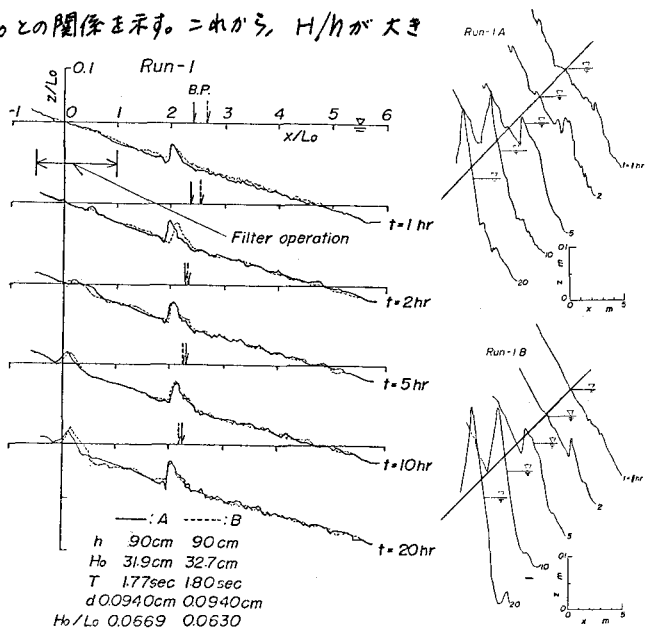


図-3 海浜断面の変形量と無次元排水量の関係

めた砂の沈降速度 W_f との比 U_s/W_f と A/A_0 との関係を示す。これから、 H/H_0 が大きくなると、berm の最大堆積量をえた最適無次元排水量 U_s/W_f が存在するようであるが、強制排水の効果は berm の高さに規定されると、この U_s/W_f は時間的に変化することができる。(ii) 周期波による実験: 周期波による海浜断面の時間的変化の一例を図-4 に示す。図中の矢印は碎波点であり、A および B はそれぞれ排水ありと非排水の場合である。従来、初期海浜勾配が一定ならば海浜断面は波浪特性と底質特性で決定されることがわかったが、今回の実験の範囲では filter system の挙動によつてもこの特性はほとんど変化しなかつた。つまり、海浜変形の一般的な特徴としては、A では sub-sand filter 領域内での砂の移動が実験開始数時間以降ほとんど見られないに対し、B 図-4 周期波による海浜変形とその拡大図ではこれ以後、berm や沿岸砂洲の発達するいずれの波浪条件でも、それらの顕著な発達が認められた。図-5 および図-6 は filter の影響範囲内における海浜変形の初期形状からの分散 A の時間的および海浜勾配による変化を示したものである。前者から H_0/L_0 が小さい場合、 A/A_0 の変動がかなり大きく、 $t=10 \text{ hr}$ 以後においてもこれが見受けられる。また、排水側で A/A_0 の変動が一般に小さく出ていることがある。後者からは、排水の効果がさらには見受けられることもなく、 H_0/L_0 が大きくなると A/A_0 の時間的変化が小さくなり、一定値に近づくことがわかる。これらの結果は Machemehl の結果と同様の傾向を示している。したがって、土砂収支上の観点からは、sub-sand filter system によって、海浜勾配が大きくなれば、filter の効果は現れにくいか、この影響範囲における砂の移動が抑制され、一般に初期海浜からの変形量が小さくなることがわかる。



3. Sub-sand filter system の適用性: 図-5 A/A_0 の時間的变化 図-6 A/A_0 の H_0/L_0 による変化
以上の結果を用いて、この工法の適用性を検討してみよう。まず、3D 波あるいは長周期性の周期波の場合には、この system の挙動によつて berm の発達がさらに助長されよう。したがって、well point 工法などによつて海浜部の地下水位を下げてやることは有効にならう。つぎに、波形勾配の大さい storm condition の波の場合を対象とすれば、前述したようにこの system の影響範囲内では漂砂移動の抵抗力が増加するので、沿岸砂洲の発達には沖波から汀線方向への漂砂がかなりの割合を占めることを推定される。すなわち、一度汀線近くに berm として堆積した砂は、たゞごく波浪特性が storm condition に変化しても、この system が機能しておれば、沖波方向への漂砂移動が抑止されることが期待でき、少なくとも前段からの砂の流失は少くなる可能性があるといえよう。この特性は養浜施工上の最弱点である維持上の問題の改善に有用であると考えられる。

